

03

## **Метод расчета нестационарного теплового потока по сигналу датчика на основе анизотропных термоэлементов из монокристалла висмута**

© П.А. Попов, С.В. Бобашев, Б.И. Резников, В.А. Сахаров

Физико-технический институт им. А.Ф. Иоффе РАН, Санкт-Петербург, Россия

E-mail: pavel.popov@mail.ioffe.ru

Поступило в Редакцию 12 сентября 2017 г.

Предложен метод расчета нестационарного теплового потока по электрическому сигналу датчика на основе анизотропных термоэлементов из монокристалла висмута. Он позволяет приблизительно вычислить значение теплового потока в диапазоне от  $\sim 1 \mu\text{s}$  до времени выхода на стационарный режим. Тестирование метода показало, что при регистрации тепловых потоков малой длительности ( $t \sim 1-10 \text{ ms}$ ) датчиками на основе термоэлементов с соотношением сторон  $> 25$  погрешность не превышает нескольких процентов.

DOI: 10.21883/PJTF.2018.08.45960.17036

В экспериментальной газодинамике наряду с традиционными средствами измерения теплового потока, такими как тонкопленочные датчики сопротивления и коаксиальные термопары [1], в последнее время получил распространение новый тип датчиков на основе поперечного эффекта Зеебека. В частности, датчиками такого типа являются АЛТР (atomic layer thermopile) с чувствительным элементом из анизотропной пленки YBCO/CuO<sub>2</sub> [2] и ГДТП (градиентный датчик теплового потока)

с анизотропными термоэлементами из монокристалла висмута [3]. Они обладают высокой чувствительностью, малым временем отклика на тепловое воздействие и активно применяются в различных теплофизических экспериментах, в том числе в импульсных высокоэнтальпийных установках [4–6].

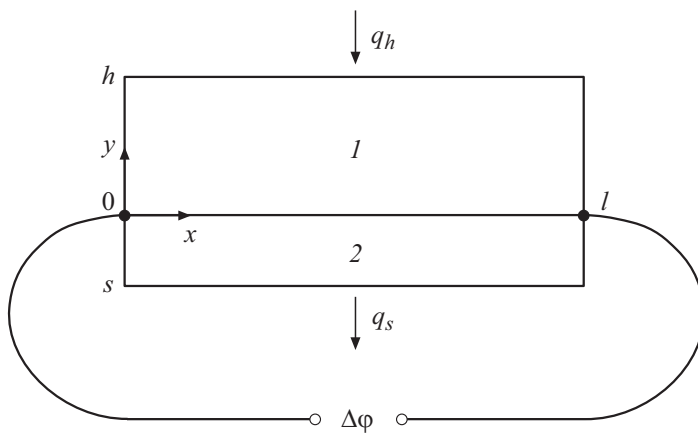
Метод обработки результатов измерений датчиком на основе эффекта Зеебека зависит от теплового режима, в котором он находился в процессе регистрации. Время установления стационарного теплового режима  $t$  в сборке чувствительный элемент–подложка может быть определено с помощью соотношения [7]

$$Fo = \frac{\eta(1 + \chi\eta) + Bi[\eta + 1/2\chi(1 + \eta^2)]}{Bi\chi},$$

где  $Fo = \frac{at}{h}$ ,  $Bi = \frac{\alpha s}{\lambda_2}$ ,  $\eta = \frac{s}{h} \sqrt{\frac{a_1}{a_2}}$ ,  $\chi = \sqrt{\frac{\lambda_1 C_1 \rho_1}{\lambda_2 C_2 \rho_2}}$ ,  $a = \frac{\lambda}{C\rho}$ ;  $\alpha$  — коэффициент теплоотдачи от тыльной стороны подложки;  $h$ ,  $s$  — толщины термоэлемента и подложки;  $\lambda$  — теплопроводность;  $C$  — теплоемкость;  $\rho$  — плотность. Оно определяет границу применимости стационарной калибровки для расчета теплового потока:  $q = kU$ , где  $k$  — калибровочный коэффициент, а  $U$  — электрический сигнал датчика. В АЛТР с толщиной чувствительного элемента  $\sim 1 \mu\text{m}$  время установления стационарного режима составляет  $\sim 1 \mu\text{s}$  [2], что позволяет использовать его для прямого измерения теплового потока в газодинамическом эксперименте. Минимальная толщина термоэлементов в ГДТП составляет  $200 \mu\text{m}$ , при этом время выхода на стационарный режим достигает  $\sim 1 \text{s}$  [8,9]. При меньших характерных временах изменения теплового потока применение стационарной калибровки приводит к качественно неверным результатам [10] и необходим иной подход к обработке результатов измерений.

В настоящей работе предлагается метод расчета нестационарного теплового потока по сигналу датчика на основе анизотропных термоэлементов из монокристалла висмута (ГДТП). Он позволяет приближенно рассчитать тепловой поток в диапазоне от  $\sim 1 \mu\text{s}$  до времени выхода на стационарный тепловой режим.

Рассмотрим модель датчика, состоящую из термоэлемента прямоугольной формы (1) длиной  $l$  и толщиной  $h$ , расположенного на изоляционной подложке из слюды (2) толщиной  $s$  (рис. 1). Через рабочую поверхность термоэлемента  $y = h$  проходит тепловой поток  $q_h$ ,



**Рис. 1.** Модель теплового датчика на основе анизотропного термоэлемента. 1 — анизотропный термоэлемент, 2 — подложка.

боковые поверхности термоэлемента и подложки  $x = 0$  и  $x = l$  теплоизолированы. На тыльной поверхности подложки  $y = s$  осуществляется конвективный теплообмен  $q_s = \alpha_s(T_s - T_e)$ , где  $\alpha_s$  — коэффициент теплоотдачи,  $T_s$  и  $T_e$  — температуры подложки и окружающей среды. На всех поверхностях термоэлемента задается условие электроизоляции  $j_n = 0$ . Создаваемое напряжение  $\Delta\varphi$  снимается в точках, расположенных на тыльной поверхности термоэлемента  $y = 0$ .

Далее используются два варианта математической модели датчика. В первой модели (полной) распределение температуры  $T(t, x, y)$  и потенциала  $\varphi(t, x, y)$  находится из численного решения системы уравнений [11]

$$C\rho \frac{\partial T}{\partial t} + \text{div} \mathbf{w} = 0,$$

$$\text{div} \mathbf{j} = 0,$$

где  $\mathbf{w} = \mathbf{q} + \varphi \mathbf{j}$  — плотность потока энергии,  $\mathbf{q} = -\lambda \nabla T + \alpha T \mathbf{j}$ ,  $\mathbf{j} = -\sigma \nabla \varphi - \sigma \alpha \nabla T$  — плотности потока тепла и электрического тока,  $T$  — температура,  $\varphi$  — электрический потенциал,  $\lambda$ ,  $\sigma$ ,  $\alpha$  — тензоры теплопроводности, электропроводности и термоэдс. Данная модель ис-

пользуется для решения прямой задачи — точного расчета напряжения  $\Delta\varphi$  при нагреве датчика тепловым потоком  $q_h$ .

Вторая модель (упрощенная) используется для решения обратной задачи — приближенного расчета перепада температуры  $(T_h - T_0)$  между рабочей  $y = h$  и тыльной  $y = 0$  поверхностями термоэлемента по известному напряжению  $\Delta\varphi$ . В модели предполагается, что термоэлементы достаточно длинные, а распределение температуры одномерно:  $T = T(t, y)$ . Учитываются только компонента  $\alpha_{xy}$  тензора термоэдс и компонента  $\lambda_{yy}$  тензора теплопроводности висмута. Теплоемкость и плотность термоэлемента и подложки в обеих моделях одинаковы. При данных предположениях справедлива формула Томсона  $\Delta\varphi = \alpha_{xy} \frac{l}{h} (T_h - T_0)$  [11]. При  $l/h > 10$  она обладает приемлемой точностью [9]. В настоящей работе формула Томсона используется для определения температуры рабочей поверхности термоэлемента  $T_h$  по известному из эксперимента электрическому сигналу датчика  $\Delta\varphi$ . Далее, искомый тепловой поток  $q_h$  может быть определен из решения уравнения теплопроводности  $C\rho \frac{\partial T}{\partial t} = \frac{d}{dy} (\lambda_{yy} \frac{dT}{dy})$  с граничным условием  $T_h = \frac{\Delta\varphi h}{\alpha_{xy} l} + T_0$  для двухслойной структуры термоэлемент–подложка. Особенностью данного выражения является наличие неизвестной температуры тыльной поверхности термоэлемента  $T_0$ . Для расчета  $T_h$  можно воспользоваться итерационной процедурой решения уравнения теплопроводности с граничным условием  $T_h^{i+1} = \frac{\Delta\varphi h}{\alpha_{xy} l} + T_0^i$ , где  $i$  — номер итерации. В качестве нулевого приближения  $T_h^0$  принимается известная величина  $(T_h - T_0) = \frac{\Delta\varphi h}{\alpha_{xy} l}$ , а  $T_0^0$  задается равной нулю. Условием окончания итераций можно считать достижение необходимой точности расчета температуры рабочей поверхности  $(T_h^{i+1} - T_h^i) < \varepsilon$ .

Тестирование предлагаемого метода проводилось на модельной задаче нагрева рабочей поверхности датчика импульсным тепловым потоком  $q_h$ . По заданному тепловому потоку с помощью первой модели рассчитывалось напряжение  $\Delta\varphi$ , рассматриваемое в качестве сигнала датчика, по которому восстанавливался тепловой поток. Поскольку метод является приближенным, необходимо оценить погрешности расчета теплового потока для термоэлементов, используемых в реальных датчиках (ГДТП). Рассмотрим два варианта типичных термоэлементов из монокристалла висмута длиной  $l = 2$  и  $5$  mm, толщиной  $h = 0.2$  mm ( $l/h = 10, 25$ ), расположенных на подложке из слюды такой же тол-

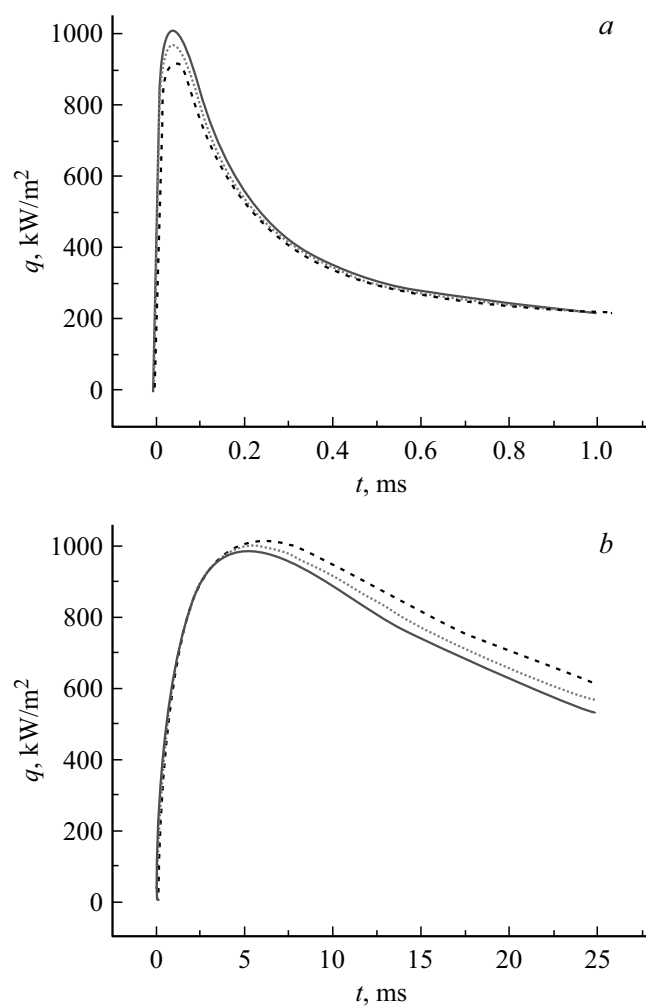
щины. Представляет интерес нагрев датчика тепловым потоком  $q_h$  с различными характерными временами. В качестве масштаба выберем время, в течение которого температура тыльной поверхности термоэлемента остается неизменной, а распределение температуры остается близким к одномерному. Для термоэлементов толщиной  $h = 200 \mu\text{m}$  оно составляет  $\sim 0.5 \text{ ms}$  [12]. Рассмотрим импульсный нагрев с характерным временем  $t_0 = 50 \mu\text{s}$  и  $5 \text{ ms}$ .

На рис. 2 показаны заданный тепловой поток  $q_h$  и рассчитанный с помощью предлагаемого метода для термоэлементов с соотношением сторон  $l/h = 10$  и  $25$ . При малом характерном времени импульса (фрагмент *a*) распределение температуры практически одномерно, и даже в случае короткого термоэлемента погрешность расчета теплового потока не превышает 10%. Наибольшее расхождение наблюдается в период максимальной интенсивности нагрева, далее кривые практически совпадают. При увеличении характерного времени импульса и продолжительности нагрева термоэлемента кривые ведут себя иначе. На начальном этапе они совпадают. Начиная с некоторого момента времени, когда отклонение от одномерного распределения температуры становится существенным, различие между кривыми увеличивается, достигая максимального значения при выходе на стационарный режим. Так же как и в предыдущем случае, увеличение длины термоэлементов повышает точность расчета теплового потока.

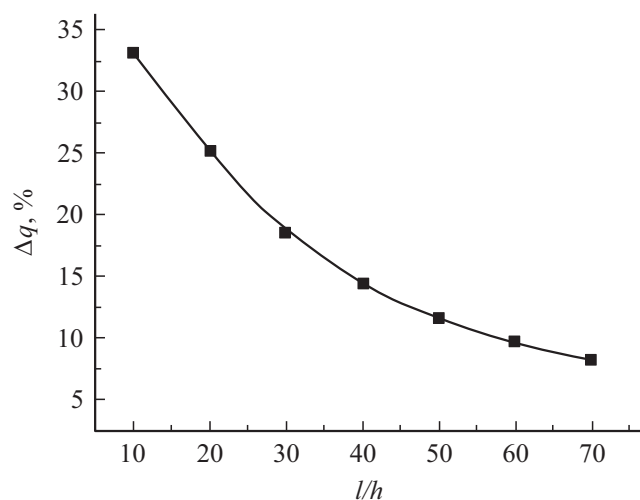
На рис. 3 показана зависимость максимальной погрешности расчета теплового потока с помощью предлагаемого метода от соотношения сторон термоэлемента  $l/h$ . Она соответствует стационарному тепловому режиму, когда распределение температуры в наибольшей степени отличается от одномерного.

Как показали проведенные тестовые расчеты, при небольших временах ( $t \sim 10 \text{ ms}$ ) для достижения сходимости процедуры достаточно нескольких итераций. При существенном увеличении времени количество итераций возрастает, при этом накапливаются ошибки численного расчета, что может привести к расхождению процедуры или повышению погрешности величины теплового потока.

В работе предложен метод расчета нестационарного теплового потока по электрическому сигналу датчика на основе анизотропных термоэлементов из монокристалла висмута. Проведенное тестирование показало, что при регистрации тепловых потоков малой длительности ( $t \sim 1\text{--}10 \text{ ms}$ ) датчиками с достаточно длинными термоэлементами



**Рис. 2.** Заданный тепловой поток  $q_h$  (сплошная линия) и рассчитанный с помощью предлагаемой методики для термоэлементов длиной  $l = 2 \text{ mm}$  (штриховая линия) и  $5 \text{ mm}$  (пунктирная линия). Характерное время импульса  $t_0 = 50 \mu\text{s}$  (a) и  $5 \text{ ms}$  (b).



**Рис. 3.** Зависимость максимальной погрешности расчета теплового потока от соотношения сторон термоэлемента  $l/h$ .

( $l/h > 25$ ) погрешность не превышает нескольких процентов. Для повышения точности измерения тепловых потоков с большими характерными временами необходимо применять датчики с максимально возможным соотношением сторон термоэлемента.

## Список литературы

- [1] Hollis B.R., Prabhu D.K., MacLean M., Dufrene A. // J. Thermophys. Heat Transfer. 2017. V. 31. N 3. P. 712–731.
- [2] Roediger T., Knauss H., Bountin D., Smorodsky B., Maslov A., Srulijes J. // J. Spacecraft Rockets. 2009. V. 46. N 2. P. 255–265.
- [3] Mityakov A.V., Sapozhnikov S.Z., Mityakov V.Y., Snarskii A.A., Zhenirovsky M.I., Pyrhonen J.J. // Sensors Actuators A: Physical. 2012. V. 176. P. 1–9.
- [4] Bobashev S., Golovachov Y., Chernyshev A., Kurbatov G., Mende N., Sakharov V., Schmidt A., Van Wie D. // 46th AIAA Aerospace Sciences Meeting. Reno, Nevada, 2008. P. 2008–1094.

- [5] *Bobashev S., Mende N., Ponjaev S., Popov P., Sakharov V., Sapozhnikov S., Mityakov V., Mityakov A., Van Wie D.* // 47th AIAA Aerospace Sciences Meeting, Orlando, Florida, 2009. P. 2009-1041.
- [6] *Marineau E., Lewis D., Smith M., Lafferty J., White M., Amar A.* // 51st AIAA Aerospace Sciences Meeting, Grapevine, Texas, 2013. V. 6. P. 4691–4716.
- [7] *Геращенко О.А.* Основы теплотометрии. Киев: Наук. думка, 1971. 188 с.
- [8] *Сапожников С.З., Митяков В.Ю., Митяков А.В.* Основы градиентной теплотометрии. СПб.: Изд-во Политехн. ун-та, 2012. 203 с.
- [9] *Попов П.А., Бобашев С.В., Резников Б.И., Сахаров В.А.* // Письма в ЖТФ. 2017. Т. 43. В. 7. С. 24–31.
- [10] *Бобашев С.В., Менде Н.П., Попов П.А., Резников Б.И., Сахаров В.А., Сапожников С.З., Митяков В.Ю., Митяков А.В., Бунтин Д.А., Маслов А.А., Кнаусс Х., Редигер Т.* // Письма в ЖТФ. 2009. Т. 35. В. 5. С. 36–42.
- [11] *Rowe D.M.* CRC Handbook of thermoelectrics: macro to nano. CRC Press / Taylor & Francis, 2006. 1014 p.
- [12] *Резников Б.И., Сахаров В.А., Штейнберг А.С.* // Письма в ЖТФ. 2008. Т. 34. В. 5. С. 28–33.